

# Starkniederschlagshöhen und -spenden gemäß KOSTRA-DWD-2020

## Rasterfeld 117117

(Zeile 117, Spalte 117)

### Regenspende und Bemessungsniederschlagswerte in Abhängigkeit von Wiederkehrzeit T und Dauerstufe D

| Dauerstufe D |     | Wiederkehrzeit T |            |      |            |      |            |      |            |       |            |       |            |       |            |       |            |       |            |
|--------------|-----|------------------|------------|------|------------|------|------------|------|------------|-------|------------|-------|------------|-------|------------|-------|------------|-------|------------|
|              |     | 1 a              |            | 2 a  |            | 3 a  |            | 5 a  |            | 10 a  |            | 20 a  |            | 30 a  |            | 50 a  |            | 100 a |            |
| min          | Std | mm               | l / (s ha) | mm   | l / (s ha) | mm   | l / (s ha) | mm   | l / (s ha) | mm    | l / (s ha) | mm    | l / (s ha) | mm    | l / (s ha) | mm    | l / (s ha) | mm    | l / (s ha) |
| 5            |     | 7,4              | 246,7      | 9,1  | 303,3      | 10,2 | 340,0      | 11,6 | 386,7      | 13,7  | 456,7      | 15,8  | 526,7      | 17,2  | 573,3      | 19,0  | 633,3      | 21,6  | 720,0      |
| 10           |     | 9,2              | 153,3      | 11,4 | 190,0      | 12,7 | 211,7      | 14,5 | 241,7      | 17,0  | 283,3      | 19,6  | 326,7      | 21,4  | 356,7      | 23,6  | 393,3      | 26,8  | 446,7      |
| 15           |     | 10,3             | 114,4      | 12,8 | 142,2      | 14,3 | 158,9      | 16,3 | 181,1      | 19,1  | 212,2      | 22,1  | 245,6      | 24,0  | 266,7      | 26,5  | 294,4      | 30,2  | 335,6      |
| 20           |     | 11,2             | 93,3       | 13,8 | 115,0      | 15,5 | 129,2      | 17,6 | 146,7      | 20,7  | 172,5      | 23,9  | 199,2      | 26,0  | 216,7      | 28,7  | 239,2      | 32,7  | 272,5      |
| 30           |     | 12,5             | 69,4       | 15,4 | 85,6       | 17,2 | 95,6       | 19,6 | 108,9      | 23,1  | 128,3      | 26,7  | 148,3      | 29,0  | 161,1      | 32,0  | 177,8      | 36,4  | 202,2      |
| 45           |     | 13,9             | 51,5       | 17,2 | 63,7       | 19,2 | 71,1       | 21,9 | 81,1       | 25,7  | 95,2       | 29,7  | 110,0      | 32,3  | 119,6      | 35,6  | 131,9      | 40,5  | 150,0      |
| 60           | 1   | 15,0             | 41,7       | 18,5 | 51,4       | 20,7 | 57,5       | 23,5 | 65,3       | 27,7  | 76,9       | 32,0  | 88,9       | 34,7  | 96,4       | 38,4  | 106,7      | 43,7  | 121,4      |
| 90           | 1,5 | 16,6             | 30,7       | 20,5 | 38,0       | 22,9 | 42,4       | 26,1 | 48,3       | 30,7  | 56,9       | 35,5  | 65,7       | 38,6  | 71,5       | 42,6  | 78,9       | 48,4  | 89,6       |
| 120          | 2   | 17,8             | 24,7       | 22,1 | 30,7       | 24,7 | 34,3       | 28,1 | 39,0       | 33,0  | 45,8       | 38,1  | 52,9       | 41,5  | 57,6       | 45,8  | 63,6       | 52,1  | 72,4       |
| 180          | 3   | 19,8             | 18,3       | 24,4 | 22,6       | 27,3 | 25,3       | 31,1 | 28,8       | 36,6  | 33,9       | 42,3  | 39,2       | 46,0  | 42,6       | 50,8  | 47,0       | 57,7  | 53,4       |
| 240          | 4   | 21,3             | 14,8       | 26,3 | 18,3       | 29,4 | 20,4       | 33,5 | 23,3       | 39,4  | 27,4       | 45,4  | 31,5       | 49,4  | 34,3       | 54,6  | 37,9       | 62,1  | 43,1       |
| 360          | 6   | 23,5             | 10,9       | 29,1 | 13,5       | 32,6 | 15,1       | 37,1 | 17,2       | 43,6  | 20,2       | 50,3  | 23,3       | 54,7  | 25,3       | 60,5  | 28,0       | 68,8  | 31,9       |
| 540          | 9   | 26,1             | 8,1        | 32,2 | 9,9        | 36,0 | 11,1       | 41,0 | 12,7       | 48,3  | 14,9       | 55,7  | 17,2       | 60,6  | 18,7       | 67,0  | 20,7       | 76,1  | 23,5       |
| 720          | 12  | 28,0             | 6,5        | 34,6 | 8,0        | 38,7 | 9,0        | 44,1 | 10,2       | 51,9  | 12,0       | 59,9  | 13,9       | 65,1  | 15,1       | 72,0  | 16,7       | 81,8  | 18,9       |
| 1080         | 18  | 31,0             | 4,8        | 38,3 | 5,9        | 42,9 | 6,6        | 48,8 | 7,5        | 57,4  | 8,9        | 66,3  | 10,2       | 72,1  | 11,1       | 79,6  | 12,3       | 90,5  | 14,0       |
| 1440         | 24  | 33,3             | 3,9        | 41,2 | 4,8        | 46,1 | 5,3        | 52,5 | 6,1        | 61,7  | 7,1        | 71,2  | 8,2        | 77,4  | 9,0        | 85,6  | 9,9        | 97,3  | 11,3       |
| 2880         | 48  | 39,6             | 2,3        | 49,0 | 2,8        | 54,8 | 3,2        | 62,4 | 3,6        | 73,4  | 4,2        | 84,7  | 4,9        | 92,1  | 5,3        | 101,8 | 5,9        | 115,7 | 6,7        |
| 4320         | 72  | 43,8             | 1,7        | 54,2 | 2,1        | 60,6 | 2,3        | 69,0 | 2,7        | 81,2  | 3,1        | 93,7  | 3,6        | 101,9 | 3,9        | 112,6 | 4,3        | 128,0 | 4,9        |
| 5760         | 96  | 47,1             | 1,4        | 58,2 | 1,7        | 65,1 | 1,9        | 74,2 | 2,1        | 87,2  | 2,5        | 100,7 | 2,9        | 109,5 | 3,2        | 121,0 | 3,5        | 137,6 | 4,0        |
| 7200         | 120 | 49,8             | 1,2        | 61,6 | 1,4        | 68,9 | 1,6        | 78,4 | 1,8        | 92,2  | 2,1        | 106,4 | 2,5        | 115,8 | 2,7        | 128,0 | 3,0        | 145,4 | 3,4        |
| 8640         | 144 | 52,1             | 1,0        | 64,4 | 1,2        | 72,1 | 1,4        | 82,1 | 1,6        | 96,5  | 1,9        | 111,4 | 2,1        | 121,2 | 2,3        | 133,9 | 2,6        | 152,2 | 2,9        |
| 10080        | 168 | 54,2             | 0,9        | 67,0 | 1,1        | 74,9 | 1,2        | 85,3 | 1,4        | 100,3 | 1,7        | 115,8 | 1,9        | 125,9 | 2,1        | 139,2 | 2,3        | 158,2 | 2,6        |

# Starkniederschlagshöhen und -spenden gemäß KOSTRA-DWD-2020

## Rasterfeld 117117

(Zeile 117, Spalte 117)

### Örtliche Unsicherheiten in Abhängigkeit von Wiederkehrzeit T und Dauerstufe D

| Dauerstufe D |     | Wiederkehrzeit T |     |     |     |      |      |      |      |       |
|--------------|-----|------------------|-----|-----|-----|------|------|------|------|-------|
|              |     | 1 a              | 2 a | 3 a | 5 a | 10 a | 20 a | 30 a | 50 a | 100 a |
| min          | Std | ± %              | ± % | ± % | ± % | ± %  | ± %  | ± %  | ± %  | ± %   |
| 5            |     | 11               | 12  | 12  | 13  | 14   | 15   | 15   | 16   | 16    |
| 10           |     | 13               | 15  | 16  | 17  | 18   | 19   | 19   | 20   | 20    |
| 15           |     | 15               | 17  | 18  | 19  | 20   | 21   | 21   | 22   | 22    |
| 20           |     | 15               | 18  | 19  | 20  | 21   | 22   | 22   | 23   | 23    |
| 30           |     | 16               | 18  | 19  | 20  | 22   | 22   | 23   | 24   | 24    |
| 45           |     | 16               | 18  | 19  | 20  | 22   | 23   | 23   | 24   | 24    |
| 60           | 1   | 16               | 18  | 19  | 20  | 21   | 22   | 23   | 23   | 24    |
| 90           | 1,5 | 15               | 17  | 18  | 19  | 21   | 22   | 22   | 23   | 23    |
| 120          | 2   | 14               | 17  | 18  | 19  | 20   | 21   | 22   | 22   | 23    |
| 180          | 3   | 13               | 16  | 17  | 18  | 19   | 20   | 20   | 21   | 22    |
| 240          | 4   | 13               | 15  | 16  | 17  | 18   | 19   | 20   | 20   | 21    |
| 360          | 6   | 12               | 14  | 15  | 16  | 17   | 18   | 19   | 19   | 20    |
| 540          | 9   | 11               | 13  | 14  | 15  | 16   | 17   | 18   | 18   | 19    |
| 720          | 12  | 11               | 13  | 14  | 15  | 16   | 17   | 17   | 18   | 18    |
| 1080         | 18  | 11               | 12  | 13  | 14  | 15   | 16   | 16   | 17   | 17    |
| 1440         | 24  | 11               | 12  | 13  | 14  | 15   | 15   | 16   | 16   | 17    |
| 2880         | 48  | 12               | 13  | 13  | 14  | 14   | 15   | 15   | 16   | 16    |
| 4320         | 72  | 13               | 13  | 14  | 14  | 15   | 15   | 15   | 16   | 16    |
| 5760         | 96  | 14               | 14  | 14  | 14  | 15   | 15   | 16   | 16   | 16    |
| 7200         | 120 | 15               | 15  | 15  | 15  | 15   | 16   | 16   | 16   | 16    |
| 8640         | 144 | 16               | 15  | 15  | 15  | 16   | 16   | 16   | 16   | 17    |
| 10080        | 168 | 17               | 16  | 16  | 16  | 16   | 16   | 16   | 17   | 17    |

### Parameter für abweichende T und D

#### Lokationsparameter $\xi$ (Xi)

15,08353016

#### Skalenparameter $\alpha$ (Alpha)

4,95277869

#### Formparameter $\kappa$ (Kappa)

-0,1

#### 1. Koutsoyiannis-Parameter $\theta$ (Theta)

0,01093383

#### 2. Koutsoyiannis-Parameter $\eta$ (Eta)

0,7503127

Parameter für dauerstufenübergreifende Extremwertschätzung nach KOUTSOYIANNIS et al. 1998.

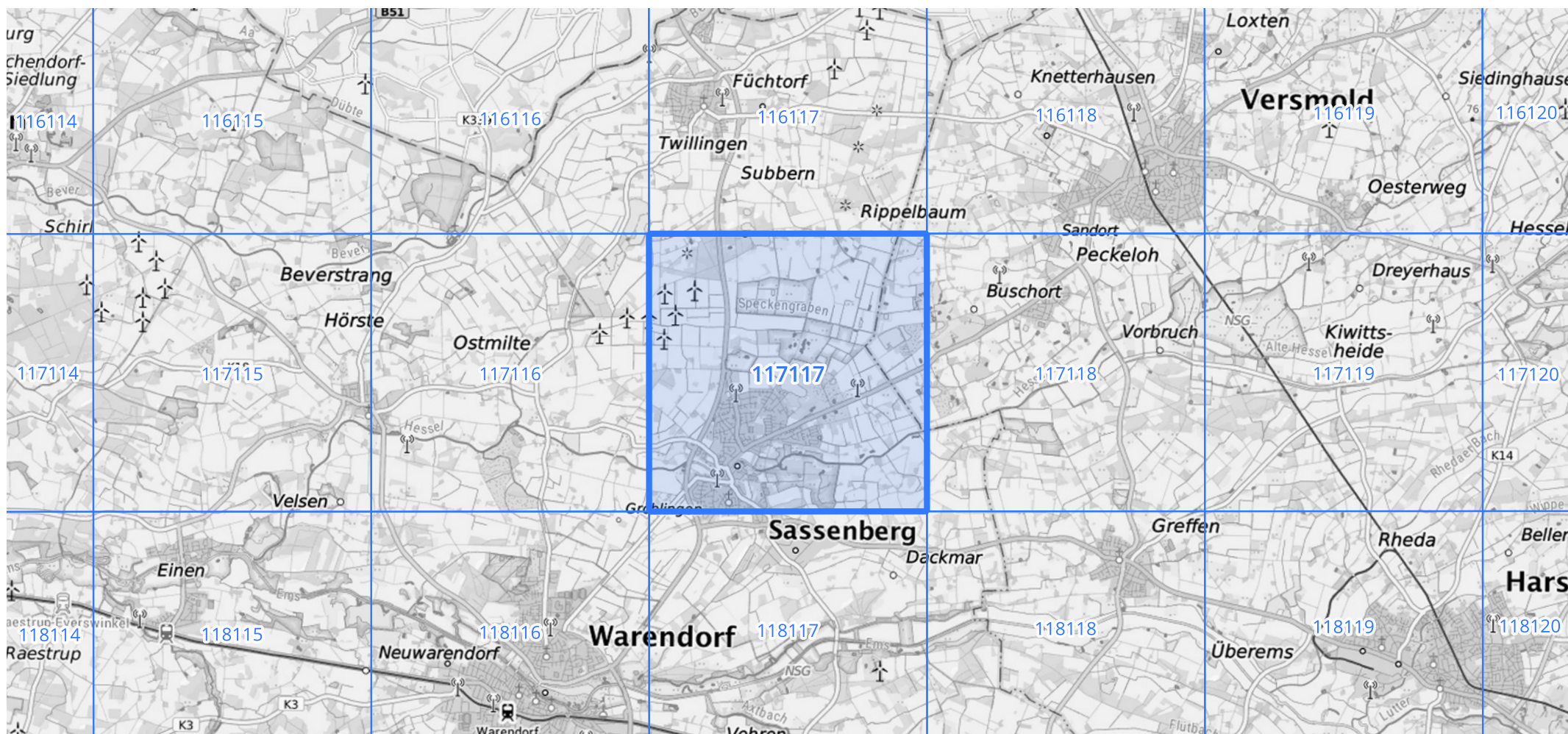
Siehe auch Anwendungshilfe zu KOSTRA-DWD-2020 des Deutschen Wetterdienstes.

## Starkniederschlagshöhen und -spenden gemäß KOSTRA-DWD-2020

## Rasterfeld 117117

(Zeile 117, Spalte 117)

Übersichtskarte des Rasterfeldes 117117, M 1 : 100 000



Quelle Rasterdaten: KOSTRA-DWD-2020 des Deutschen Wetterdienstes, Stand 12/2022.

Seite 3 von 3

Kartendarstellung: © Bundesamt für Kartographie und Geodäsie (2023), Datenquellen: [https://sgx.geodatenzentrum.de/web\\_public/gdz/datenquellen/Datenquellen\\_TopPlusOpen.html](https://sgx.geodatenzentrum.de/web_public/gdz/datenquellen/Datenquellen_TopPlusOpen.html)

Für die Richtigkeit und Aktualität der Angaben wird keine Gewähr übernommen. Erstellt 01/2023.